



# БИООРГАНИЧЕСКАЯ ХИМИЯ

том 4 \* № 7 \* 1978

УДК 547.962.32

## ВЫДЕЛЕНИЕ И ХАРАКТЕРИСТИКИ ФРАГМЕНТА ДНК БАКТЕРИОФАГА $\lambda$ $limm^{434}$ , СОДЕРЖАЩЕГО ОПЕРОН 4S-РНК (*oop*РНК)

*Свердлов Е.Д., Монастырская Г.С., Ростапишов В.М.*

*Институт биоорганической химии им. М. М. Шемякина  
Академии наук СССР, Москва*

Из ДНК бактериофага  $\lambda$   $limm^{434}$  после расщепления рестриктазой *Eco RI* выделен фрагмент с молекулярным весом  $0,776 \cdot 10^6$ . Фрагмент локализован между точками 78 и 80,3% физической карты ДНК фага. Разработан препаративный метод его выделения. Показано, что фрагмент содержит транскриптон 4S-*oop*РНК. При транскрипции фрагмента *in vitro* в присутствии фактора терминации  $\rho$  наблюдается заметное увеличение количества синтезированной *oop*РНК.

При транскрипции ДНК фага  $\lambda$   $limm^{434}$  *in vitro* РНК-полимеразой *E. coli* наиболее активная инициация происходит на четырех промоторах, один из которых,  $p_0$ , регулирует синтез короткой 4S-РНК (*oop*РНК) [1]. В последнее время эта РНК по ряду причин привлекает к себе определенное внимание. Во-первых, ее оперон находится в области начала репликации (*ori*) ДНК  $\lambda$ , и приводились данные, что она участвует в инициации репликации [2, 3]. Во-вторых, существуют доводы в пользу того, что *in vivo* 4S-РНК содержится на 5'-конце значительно более длинной РНК, включающей транскрипт гена репрессора [4]. На основании этого высказывается гипотеза [4], что лизогенный путь развития фага включает в себя синтез длинной РНК от промотора  $p_0$  в область иммунности. В связи с этим значительный интерес представляло бы выделение фрагмента ДНК  $\lambda$ , содержащего оперон 4S-РНК, и изучение особенностей его транскрипции. В данной работе мы описываем препаративную простую методику получения такого фрагмента.

Известно, что при расщеплении ДНК бактериофага  $\lambda$  рестриктазой *Eco RI* образуется 6 фрагментов (A — F, рис. 1) [5]. При этом из анализа большого числа литературных данных можно с достаточной уверенностью полагать, что оперон 4S-РНК находится во фрагменте D. Эти данные суммированы на рис. 1. В работе Аллета [6] картированы места расщепления ДНК  $\lambda$  вблизи области иммунности различными рестриктазами. Показано, что *Eco RI*-фрагмент D практически полностью содержит в своей правой части, расположенной вне области иммунности, последовательность *Hae III*-фрагмента 1190 и оба эти фрагмента содержат участки расщепления рестриктазами *Hind II* и *Hpa II*, отмеченные на рис. 1. *Hae III*-фрагмент 1190 имеет только по одному участку расщепления для каждого из этих ферментов. В работе Пташине [7], с другой стороны, установлена последовательность части *Hae III*-фрагмента 1190. Показано, что здесь содер-

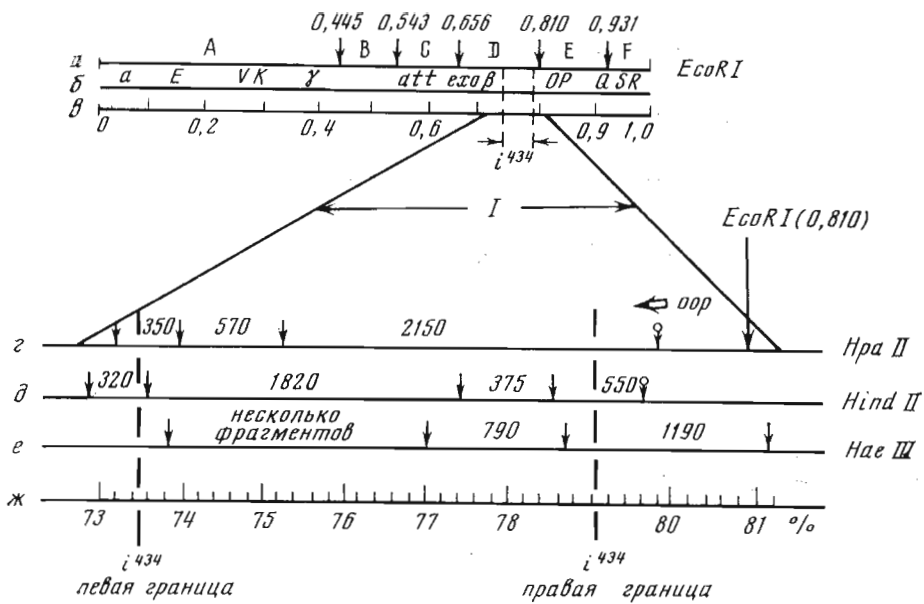


Рис. 1

Рис. 1. Локализация гена *oop*РНК на физической карте ДНК фага  $\lambda$ : а — карта расщепления ДНК фага  $\lambda$  рестриктазой *Eco*RI [5]; б — расположение генов на ДНК фага  $\lambda$  [5]; в — масштаб (а) и (б) в долях полной длины ДНК фага  $\lambda$ ; г — карта расщепления участка I вблизи области иммунности ( $i^{434}$ ) рестриктазой *Hpa*II [6]; д, е — карты расщепления этого участка рестриктазами *Hind* II и *Hae*III [6]; ж — масштаб (г) — (е) в единицах длины ДНК  $\lambda$ . Пунктирными вертикальными линиями обозначены границы области иммунности фага 434 в ДНК  $\lambda imm^{434}$ . Вертикальными стрелками указаны места расщепления рестриктазами

Рис. 2. Гель-электрофорез в 1,2% агарозе *Eco*RI-гидролизатов ДНК  $\lambda$  (1), ДНК  $\lambda imm^{434}$  (2) и плазмиды *pSC*3 (3)

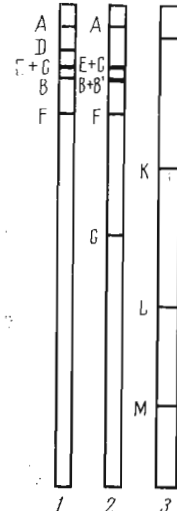


Рис. 2

жится 3'-концевая последовательность гена *oop*РНК, внутри которой находятся участки расщепления рестриктазами *Hpa*II и *Hind*II.

Учитывая локализацию этих участков на ДНК  $\lambda$  (рис. 1) и длину *oop*РНК (около 80 нуклеотидов [8, 9]), можно заключить, что весь оперон *oop*РНК находится внутри *Eco*RI-фрагмента D.

Этот вывод согласуется с работами Шибальского [2, 4, 10], по данным которого ген *oop*РНК на карте  $\lambda$  локализован в участке 80—81%. Наконец, показано, что 4S-РНК гибридизуется с L-цепью *Eco*RI-фрагмента D [11]. *Eco*RI-фрагмент D включает в себя также область иммунности и поэтому кроме промотора  $p_0$  содержит промоторы  $p_R$  и  $p_L$ . Кроме того, его значительная длина (~7900 пар оснований) сама по себе может служить источником неопределенности при изучении транскрипции, поскольку создает значительную вероятность для неспецифической инициации. В то же время из ряда работ следует, что ДНК родственного фага  $\lambda imm^{434}$ , отличаю-

Таблица 1

**Определение молекулярного веса фрагмента G исходя из его радиоактивности**

Фрагмент	$M \cdot 10^{-6} *$	Радиоактивность $A^{**}$ , имп/мин	$K = A/M$	Вычислено $M \cdot 10^{-6}$
A	13,7	13450±730	981,8	—
B+B'	3,02 и 3,02	6230±360	2062:2=1030	—
C+E	3,48 и 3,73	8593±741	2380:2=1190	—
F	2,13	2120±180	995,3	—
G	—	815±15	1050 ***	0,776

\* По данным работы [5].

\*\* Средняя из трех определений.

\*\*\* Среднее значение  $K$  для фрагментов A—F.

Таблица 2

**Анализ частоты последовательностей NpG для различных N в 4S-RНК, синтезированной РНК-полимеразой *E.coli* на фрагменте G в качестве матрицы**

Нуклеозид-3'-фосфат (N)	Радиоактивность, имп/мин	Доля от суммарной радиоактивности	Доля NpG по данным работы [9]
A	244	0,236	0,222
G	222	0,215	0,222
U+C	567	0,548	0,556

щаяся от ДНК  $\lambda$  только заменой области иммунности, содержит в этой области дополнительный участок расщепления EcoRI (см., например, [12]). В результате этого в смеси фрагментов, получающихся при расщеплении ДНК  $\lambda imm^{434}$  рестриктазой EcoRI, отсутствует фрагмент D, образующийся при расщеплении ДНК  $\lambda$ , но наблюдаются два других фрагмента, один из которых (B') совпадает по электрофоретической подвижности с фрагментом B, а другой (обозначаемый далее G) имеет значительно более высокую по сравнению с остальными подвижность и, следовательно, значительно меньший молекулярный вес [12].

Мы проверили эти данные и получили результаты, приведенные на рис. 2. Действительно, в случае ДНК  $\lambda imm^{434}$  образуется короткий фрагмент G, обладающий высокой электрофоретической подвижностью. Из простых соображений мы пришли к выводу, что этот маленький фрагмент содержит последовательности правой части фрагмента D и, следовательно, оперон *oopRNK*. Действительно, расстояние от левого конца фрагмента D до левого края области иммунности больше длины фрагмента F и составляет 8,9% длины ДНК  $\lambda$ . Следовательно, даже если бы расщепление ДНК  $\lambda imm^{434}$  внутри области иммунности происходило в непосредственной близости от ее левой границы, длина фрагмента, соответствующего левой части фрагмента D, была бы больше длины фрагмента F.

Мы предприняли более детальное изучение фрагмента G. Во-первых, поскольку точка расщепления EcoRI ДНК  $\lambda imm^{434}$  внутри области иммунности не была точно локализована на физической карте, следовало определить молекулярный вес этого фрагмента. Для этого были использованы два метода. В одном из них ДНК  $\lambda imm^{434}$ , равномерно меченному  $^{33}P$ , расщепляли рестриктазой EcoRI и после разделения продуктов в агарозном геле определяли радиоактивности участков геля, соответствующих каждому фрагменту. Полученные данные приведены в табл. 1. Отношение радиоактивностей ( $A$ ) продуктов равно отношению их молекулярных весов.

Молекулярные веса ( $M$ ) фрагментов A—F известны, поэтому из них легко вычислить коэффициент пропорциональности  $K = A/M$  и из

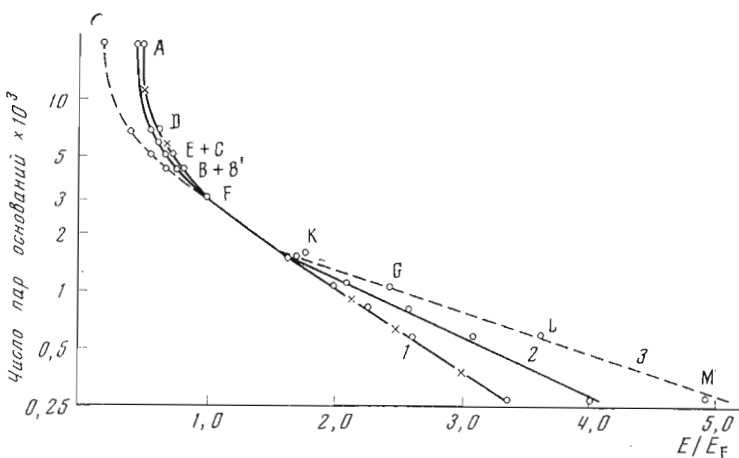


Рис. 3. Зависимость электрофоретической подвижности фрагментов EcoRI-гидролизата ДНК  $\lambda$ , ДНК  $\lambda imm^{434}$  и плазмида pSc3 от числа пар оснований при форезе в агарозном геле различной концентрации. Подвижность фрагмента F принята за единицу. (Число пар оснований во фрагментах EcoRI гидролизата pSc3: K — 1600, L — 600, M — 275 [13].) 1 — 1,2% агарозный гель; 2 — 1,5%; 3 — 2,0%

определенной радиоактивности исследуемого фрагмента G найти его молекулярный вес, который оказывается равным  $0,776 \cdot 10^6$ .

Из данных табл. 1 видно, что радиоактивность полосы, соответствующей фрагменту B, в 2 раза выше, чем ожидается из его молекулярного веса. Следовательно, в полосе находятся два фрагмента одинаковой длины (B и B'), что соответствует данным работы [12] по длине фрагмента ДНК  $\lambda imm^{434}$ , образующегося в результате расщепления области иммунности. Таким образом, длина второго фрагмента, B', содержащего участок области иммунности ДНК  $\lambda imm^{434}$ , соответствует молекулярному весу  $3,03 \cdot 10^6$ . Сумма молекулярных весов обоих фрагментов, B' и G, составляет  $3,8 \cdot 10^6$  и отличается от молекулярного веса фрагмента D ( $4,7 \cdot 10^6$ ) из ДНК фага  $\lambda$ . Возможно, области иммунности этих фагов имеют различную длину. В соответствии с нашими данными точка расщепления внутри области иммунности  $\lambda imm^{434}$  находится на расстоянии 78% длины ДНК  $\lambda imm^{434}$  от ее левого конца. Полученные таким образом данные подтверждаются независимым определением молекулярного веса фрагмента G\*, основанным на сравнении его электрофоретической подвижности с подвижностью известных фрагментов ДНК, получающихся при расщеплении плазмида pSc3 [13]; результаты приведены на рис. 2 и 3. Найденный вторым способом молекулярный вес ( $0,757 \cdot 10^6$  дальтон, 2,45% длины ДНК  $\lambda$ ) почти совпадает с определенным по первому методу.

Для препаративного выделения фрагмента G было использовано ультрацентрифугирование в градиенте концентрации сахарозы. Наилучшее разделение при центрифугировании в роторе SW-41 наблюдалось в  $15 \rightarrow 30\%$ -ном градиенте сахарозы при  $4^\circ$  за 18 ч при 36 000 об/мин (до 0,15 мг смеси продуктов расщепления  $\lambda imm^{434}$  в одной пробирке). Выделенный таким образом фрагмент был исследован в качестве матрицы для синтеза РНК РНК-полимеразой *E. coli*. Получаемые в результате его транскрипции в присутствии [ $\alpha-^{32}\text{P}$ ]рибонуклеозидтрифосфатов продукты разделяли электрофорезом в полиакриламидном геле и послеadioавтографии сопоставляли их с продуктами, получающимися при синтезе на целой ДНК фага  $\lambda$ . Из приведенных на рис. 4 данных видно, что в отличие от целой ДНК  $\lambda$  фрагмент G программирует синтез значительно меньшего числа

\* Это определение было проведено в нашей лаборатории Н. А. Петровым.

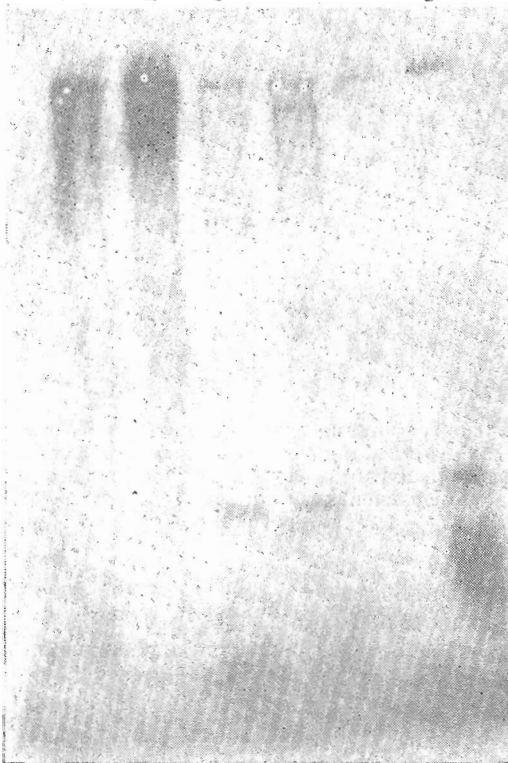


Рис. 4. Радиоавтография меченых  $^{32}\text{P}$  транскриптов ДНК фага  $\lambda$  и фрагмента G. 1 — ДНК фага  $\lambda + \rho$ -фактор, 2 — ДНК фага  $\lambda$ , 3 — фрагмент G+  $\rho$ -фактор, 4 — фрагмент G, 5 —  $^{32}\text{P}$ -тРНК

продуктов. Основной из них соответствует по подвижности тРНК, использованной в качестве свидетеля, и, очевидно, представляет собой 4S-*oop*РНК.

Для дополнительного подтверждения этого вывода был проведен анализ ближайших соседей гуаниновых звеньев этой РНК. С этой целью РНК, синтезированную в присутствии [ $\alpha$ - $^{32}\text{P}$ ]GTP, после электрофореза элюировали из геля, гидролизовали щелочью и полученные 3'-мононуклеотиды разделяли, как описано в «Экспериментальной части». Определение относительной радиоактивности каждого из них дает долю данного нуклеотида в последовательностях NpG. Полученные результаты приведены в табл. 2, где они сопоставлены с результатами, рассчитанными из известной последовательности *oop*РНК [9] \*. (Из-за недостаточного разделения пиримидиновых 5'-соседей.) Видно, что наблюдается хорошее совпадение экспериментальных и рассчитанных данных.

Обращает на себя внимание значительное увеличение количества 4S-РНК, когда транскрипция проводится в присутствии фактора терминации транскрипции  $\rho$ . Такой эффект наблюдали недавно Розенберг и др. [14, 15] при транскрипции ДНК фага  $\lambda pgal$ , хотя обычно считается, что терминация *oop*РНК не зависит от  $\rho$ . Этот результат, очевидно, служит еще одним подтверждением того, что фрагмент G действительно программирует синтез *oop*РНК.

\* Полная последовательность *oop*РНК была впервые определена Далярбергом и соавт. [8]. Однако в последующих работах [7, 9] их данные были уточнены.

## Экспериментальная часть

Фаги  $\lambda$  и  $\lambda$ іmm<sup>434</sup> получали после тепловой индукции лизогенных бактерий, как описано нами ранее [16]. Для получения фагов, равномерно меченых <sup>33</sup>P, бактерии выращивали на среде, содержащей [<sup>33</sup>P]фосфат натрия. Рестриктазу EcoRI (КФ 3.1.4.32) выделяли по методу [17], опуская хроматографию на DEAE-целлюлозе. Фермент не содержал других эндонуклеаз.

РНК-полимеразу *E. coli* выделяли по методу [18]. Полученный фермент имел чистоту не менее 95% и не содержал нуклеазных или АТР-азной активностей. Незначительную полинуклеотидфосфорилазную активность ингибировали добавлением в реакционную смесь 0,4 мМ фосфата калия. Фермент содержал до 90%  $\sigma$ -субъединицы по данным денситометрии электрофореграмм, окрашенных кумасси R-250. 60% фермента содержало функционально-активную  $\sigma$ -субъединицу по тесту [19]. Удельная активность фермента по тесту [18] соответствовала 500 ед. акт./мг при определении на ДНК тимуса теленка и 3000 ед. акт./мг при определении на ДНК фага T7.

Получение ДНК из фагов и их расщепление рестриктазой EcoRI проводили как описано ранее [16]. Плазмида pSc3 предоставлена К. Г. Скрябиным (Институт молекулярной биологии АН СССР).  $\rho$ -Фактор получен по методу [20] и для первых экспериментов предоставлен нам М. Ф. Шемякиным (Институт биоорганической химии АН СССР), а для последующих — Ю. Н. Зографом (Институт молекулярной генетики АН СССР). Меченная <sup>32</sup>P тРНК предоставлена В. Д. Аксельродом (Институт молекулярной биологии АН СССР). Для электрофореза в гелях использовали агарозу (Bio-Rad, США), акриламид (Merck, ФРГ) и N,N'-метиленбисакриламид (Reanal, Венгрия). Нуклеозидтрифосфаты производства Reanal (Венгрия) дополнительно очищали хроматографически. [ $\alpha$ -<sup>32</sup>P]GTP с удельной радиоактивностью 250 Ки/ммоль — препарат фирмы Amersham (Англия).

Радиоавтографию проводили, используя рентгеновскую пленку РТ-1 Казанского химзавода им. В. В. Куйбышева. Остальные реагенты, использованные в работе, имели квалификацию х. ч. и дополнительной очистке не подвергались.

Электрофорез в 0,7 или 1,2% агарозе, окраску и фотографирование гелей проводили как описано ранее [16]. Электрофорез в 6% полиакриламиде проводили по методу [15].

Для определения молекулярного веса фрагмента по радиоактивности меченую <sup>33</sup>P ДНК фага  $\lambda$ іmm<sup>434</sup> расщепляли рестриктазой EcoRI и продукты разделяли в 1,2% агарозе. После окрашивания бромистым этидием флюоресцирующие полосы вырезали, измельчали на фильтрах GF/C (диаметр 24 мм), высушивали и просчитывали в толуольной сцинтиляционной жидкости.

Для ультрацентрифугирования в градиенте сахарозы в пробирку ротора SW-41 помещали 12,6 мл градиента сахарозы и 0,3 мл раствора, содержащего 0,15 мг продуктов рестриктазного гидролизата ДНК.

Для транскрипции реакционная смесь (0,1 мл) содержала 0,04 М три-  
HCl (pH 7,9), 0,06 М KCl, 0,01 М ацетат магния, 0,1 мМ дитиотреит, 0,002 М EDTA, 0,4 мМ фосфат калия, 100 мкг/мл альбумина, по 0,1 мМ каждого  
рибонуклеозидтрифосфата, 2 мкКи [ $\alpha$ -<sup>32</sup>P]GTP, 0,75 мкг  $\rho$ -фактора,  
1,5 мкг РНК-полимеразы, 4 мкг ДНК или 0,4 мкг фрагмента G. Транскрип-  
цию проводили в течение 20 мин при 37°, добавляли ДНКазу, тРНК, пе-  
реосаждали спиртом и разделяли электрофорезом в полиакриламидном  
геле.

Авторы благодарят М. Ф. Шемякина и Ю. Н. Зографа за предостав-  
ление  $\rho$ -фактора, К. Г. Скрябину за плазмиду pSc3 и В. Д. Аксельродом  
за меченую тРНК.

## ЛИТЕРАТУРА

1. Blattner F. R., Dahlberg J. E. (1972) Nature New Biol., **237**, 227—232.
2. Hayes S., Szybalski W. (1973) Mol. and Gen. Genet., **126**, 275—290.
3. Hayes S., Szybalski W. (1975) in DNA Synthesis and Its Regulation (Goulian M., Hanawalt P., Fox C. F., eds.), pp. 486—512, Benjamin W. A., Inc. California.
4. Honigman A., Hu S.-L., Chase R., Szybalski W. (1976) Nature, **262**, 112—116.
5. Thomas M., Davis R. W. (1975) J. Mol. Biol., **91**, 315—328.
6. Allet B., Solem R. (1974) J. Mol. Biol., **85**, 475—484.
7. Kleid D., Humayun Z., Jeffrey A., Ptashne M. (1976) Proc. Nat. Acad. Sci. USA, **23**, 293—297.
8. Dahlberg J. E., Blattner F. R. (1973) in Virus Research (Fox C. F., Robinson W. S., eds.), pp. 533—543, Acad. Press, N. Y.—London.
9. Scherer G., Hobom G., Kössel H. (1977) Nature, **265**, 117—121.
10. Blattner F. R., Fiandt M., Hass K. K., Twose P. A., Szybalski W. (1974) Virology, **62**, 458—471.
11. Smith G. R., Hedgpeth J. (1975) J. Biol. Chem., **250**, 4818—4821.
12. Allet B., Jeppesen P. G. N., Katogiri K. J., Delius H. (1973) Nature, **241**, 120—123.
13. Maxam A. M., Tizard R., Skryabin K. G., Gilbert W. (1977) Nature, **267**, 643—645.
14. Rosenberg M., Weissman S., De Crombrugghe B. (1975) J. Biol. Chem., **250**, 4755—4764.
15. Howard B. H., De Crombrugghe B., Rosenberg M. (1977) Nucl. Acid Res., **4**, 827—842.
16. Свердлов Е. Д., Монастырская Г. С., Будовский Э. И., Петров Н. А. (1977) Биоорганическая химия, **3**, 215—221.
17. Greene P. J., Betlach M., Goodman H. M., Boyer H. W. (1974) in Methods in Molecular Biology — DNA replication (Wiekner R. B., ed.), vol. 7, pp. 87—105, Marcel Dekker, Inc. N. Y.
18. Burgess R. R., Jendrisak J. J. (1975) Biochemistry, **14**, 4634—4638.
19. Mangel W., Chamberlin M. (1974) J. Biol. Chem., **249**, 2995—3013.
20. Darlix J. (1975) Eur. J. Biochem., **51**, 369—376.

Поступила в редакцию  
23.XII.1977

## ISOLATION AND CHARACTERIZATION OF BACTERIOPHAGE $\lambda$ imm<sup>434</sup> DNA FRAGMENT CONTAINING THE 4S-RNA OPERON (*oopRNA*)

SVERDLOV E. D., MONASTYRSKAYA G. S., ROSTAPSHOV V. M.

M. M. Shemyakin Institute of Bioorganic Chemistry,  
Academy of Sciences of the USSR, Moscow

The fragment of  $0,776 \cdot 10^6$  molecular weight has been isolated from DNA of bacteriophage  $\lambda$ imm<sup>434</sup> after cleavage with restriction EcoRI. The fragment is localized between the points 78 and 80,3% of the physical map of phage DNA. A preparative method for its isolation is developed. The fragment is shown to contain the operon 4S-*oopRNA*. On transcription of the fragment in vitro in the presence of termination  $\beta$ -factor, a considerable increase in the amount of synthesized *oopRNA* is observed.